

### III-52 粘土の排水クリープに関する2, 3の考察

京都大学防災研究所 正員 柴田 徹  
同 正員 大槻 正紀

#### 1. まえがき

粘土地盤上の構造物の沈下量を推定するためには、粘土の各種力学パラメータを知る必要がある。筆者らは側方流動に主眼をおいた盛土の沈下を検討する目的で、乱さない粘土試料の排水クリープ試験を行なっているが、より多くのデータを得るために、室内で練瓦し圧密した試料を用いた試験も並行して実施している。ここでは即時沈下量に関する即時ひずみ  $\epsilon_i$ 、脱水クリープ沈下に関する体積ひずみ  $\epsilon_v$  と偏差ひずみ  $\epsilon_d$ についての諸特性を報告する。

#### 2. 試料と試験法

実験には、その物性を表-1に示す3種類の試料を用いた。試料No.1は京都市内で採取して市販されている粘性土、試料No.2はNo.1とベントナイトを1:1の割合で混合したものである。No.1, No.2とも練瓦し大型リング内で圧密した試料で、そのときの圧密圧力は0.5 kg/cm<sup>2</sup>である。試料No.3は岡山県水島地区で採取した乱さない粘性土で、その先行圧力は約1.5 kg/cm<sup>2</sup>である。

試験はNGIの三軸クリープ試験機を用いて行なった。載荷方法は、供試体を等方圧密したのち、一段階だけの荷重をかけてクリープ試験を行なうものと、累加的にせん断力を増加していくものの2種類に分かれれるが、この報告では結果の表示に両者を区別していない。そして乱さない試料No.3を除いては、いずれもRendulicの応力面上でできるだけ広範囲の面積をカバーできるように、等方圧密圧力、せん断応力、平均主応力の組合せをいろいろに変えて試験した。

なお偏差ひずみ  $\epsilon_d$  は鉛直ひずみ  $\epsilon_i$  と体積ひずみ  $\epsilon_v$  から次式で計算した。

$$\epsilon_d = \epsilon_i - \frac{1}{3} \epsilon_v$$

#### 3. 即時ひずみ: $\epsilon_i$

地盤の即時沈下量は、体積変化がない状態での土の弾性定数  $E$  を用いて求められる。この弾性定数を得たための試験方法はいろいろあるが、クリープ試験を行な際ある荷重を載荷した直後の変形量から求めることが可能である。そのためには、ここではある一定荷重を載荷後の変形-時間曲線の初期部分を内包して即時ひずみ  $\epsilon_i$  を求めた。整理法としては、次式のよ

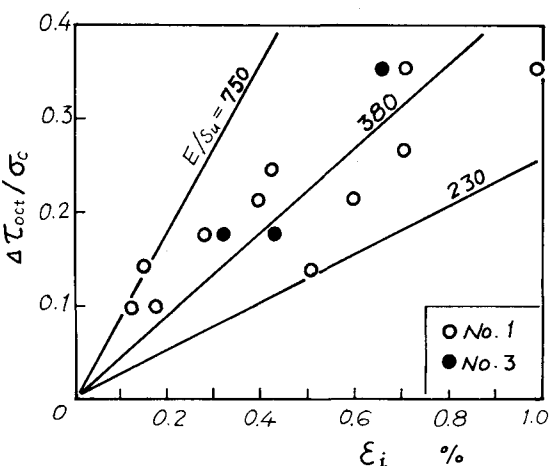


図-1 クリープ試験時の即時ひずみ

に弾性定数  $E$  と非排水せん断強度  $S_u$  の比で表わした。たゞし  $S_u$  と圧縮圧力  $\sigma_c$  の比  $S_u/\sigma_c$  を  $1/4$  とし、主応力差を  $\sigma_d$ 、八面体せん断応力を  $T_{oct}$  とする。

$$\frac{E}{S_u} = \frac{\sigma_d}{S_u \cdot E_i} = \frac{3\sqrt{2} \cdot T_{oct}}{2 \cdot S_u \cdot E_i} = \frac{6\sqrt{2}}{E_i} \cdot \frac{T_{oct}}{\sigma_c}$$

$$\therefore \frac{T_{oct}}{\sigma_c} = \frac{1}{6\sqrt{2}} \left( \frac{E}{S_u} \right) E_i$$

したがって上式によれば、その土の  $E/S_u$  の値によって  $T_{oct}/\sigma_c \sim E_i$  の関係が定まることなる。

図-1 は 2 種類の土について  $\Delta T_{oct}/\sigma_c \sim E_i$  関係をプロットしたものである。実はばらついてあるが、図中の直線が示すように  $E/S_u = (230 \sim 750)$  の範囲に入っている。ところが  $E/S_u$  については従来から多くのデータが提供されており、たとえば図-2 は文献(12)にあげられた  $E/S_u$  を塑性指數  $PI$  に対してプロットしたものである。これによると  $E/S_u$  は  $PI$  の増加とともに減少の傾向があり、2,000 から 100 程度にまで低下している。別の機会に報告するが、動的弾性定数  $E$  と  $S_u$  の比もやはり  $PI$  が大きくなると低下する傾向がみられている。

図-1 で求めた  $E/S_u$  は、竹中が提案した  $E = 210 \cdot S_u$  などに比べると、やや過大な値とみられるかも知れないが、図-2 によれば必ずしもそうではないことがわかる。そして粘土地盤の  $E$  の値が適正に評価されれば、その即時沈下量を求めることも可能となる。

#### 4. 体積ひずみ: $\epsilon_v$

体積ひずみは 100% 圧密時の  $\epsilon_{v100}$  と、2 次圧密部分のそれについて検討するが、その前に等方圧密時の鉛直ひずみ  $\epsilon_z$  と体積ひずみ  $\epsilon_v$  の変化について調べた例を図-3 に示す。3 軸供試体が等方圧密されるとき、 $\epsilon_z - \epsilon_v$  関係の傾斜は図中の直線のように  $1/3$  にはほぼ等しいが、実際にはいずれのプロットも直線より下側に立っている。特に乱さない試料 No.3においてその傾向が著しい。これはおそらく圧密時に生じた粘土構造の異方性と、試験法が供試体の脱水を水平方向に限定していることに起因すると言えるが詳細は不明である。ただ図-3 中の  $\delta F_P$  を示したように、大型リングで圧密成形したブロックから水平方向に切り出した供試体ではいくらか  $1/3$  線に近づく様子がみられるので、排水量測定上の問題だけでは片付けられない現象と思われる。

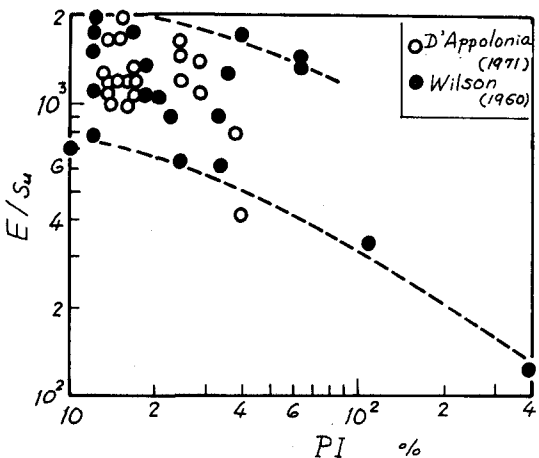


図-2 弾性定数と強度比

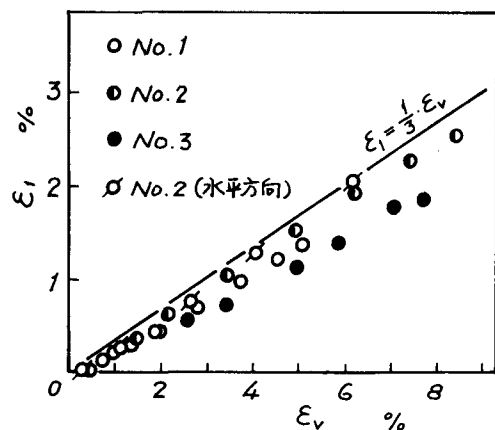


図-3 軸ひずみ-体積ひずみ関係  
(等方圧密の場合)

100% 壓密時の  $\dot{\epsilon}_v$  については、 $\dot{\epsilon}_v - \log t$  曲線から求め、それを平均有効主応力  $\sigma'_m$  の増分と等方圧密圧力  $\sigma_c$  の比に対するプロットした(図-4)。図には試料 No.1, 2 に対して等方圧密と異方向圧密の場合が併記してあるが、両者の間に目立った差は認められず、モビライス有効内部摩擦角がそれ程大きくなっているのであって、ダイレイタシーエネルギーは無視しきる。

つぎに 2 次圧密部分の傾斜  $d\dot{\epsilon}_v/d\log t$  について考察する。図-5 は  $d\dot{\epsilon}_v/d\log t$  を  $T_{oct}/\sigma'_m$  に対するものであるが、縦軸には同じ  $T_{oct}/\sigma'_m$  に対する数値の実験結果を平均した値のみがプロットしてある。横軸はモビライス有効内部摩擦角  $\varphi'_m$  の等価な値であるから、図-5 によればクリープ的な体積ひずみ量は等方圧密 ( $T_{oct}/\sigma'_m = 0$ ) の場合も含めて  $\varphi'_m$  の影響をうけないとみられる。この特性はすでに Walker が指摘しているのと同じである。<sup>3)</sup>

図-5 中に斜線で示した範囲は、それぞれの試料について oedometer-test から求めた正規状態の 2 次圧密傾斜である。筆者は以前に正規圧密粘土の 2 次圧密量は荷重強度に依存しないことを述べたが、今回の実験でも図中の範囲内に収まっている。なお oedometer-test はすなわち  $K_0$ -圧密であるから、横軸の  $T_{oct}/\sigma'_m$  は 0.3-0.4 程度であるが、 $d\dot{\epsilon}_v/d\log t$  の値は三軸排水クリープ試験より求めた値に近いことがわかる。したがって図-5 のように体積ひずみの 2 次圧密量が  $T_{oct}/\sigma'_m$  によらないならば、oedometer-test から求めた値を用いて実際の沈下計算をしてよいことになる。

### 5. 偏差ひずみ: $\dot{\epsilon}_d$

2 次圧密部分の偏差ひずみ一時間曲線の傾斜(すなわちクリープ速度)  $d\dot{\epsilon}_d/d\log t$  は上限降伏値以下では、応力比  $T_{oct}/\sigma'_m$  に対してほぼ直線的に増加することが前からわかっている。図-6 は試料 No.1 についての結果であり、表はばらついているがそのよう位相関係がわかる。さきに図-1 において  $\dot{\epsilon}_d$  が  $T_{oct}/\sigma_c$  に比例する関係をみたが、載荷直後では体積変化がゼロであるから  $\dot{\epsilon}_d = \dot{\epsilon}_s$  したがって図-6

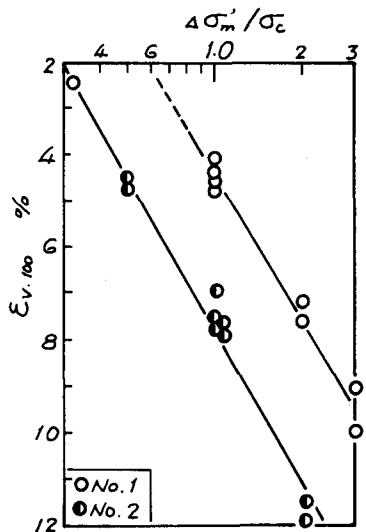


図-4 100% 壓密時の体積ひずみ  
—  $\log(\Delta\sigma_m'/\sigma_c)$  関係

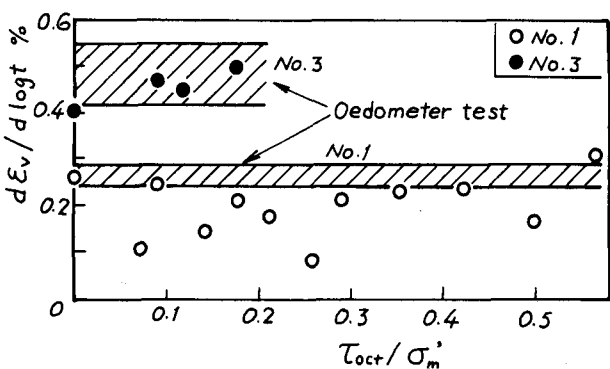


図-5 体積ひずみのクリープ速度一応力比関係

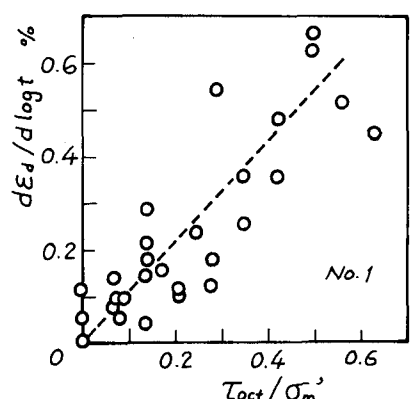


図-6 偏差ひずみのクリープ速度  
一応力比関係

の結果とも考え合せると、 $E_d$  に対する応力比  $T_{oct}/\sigma_m'$  が支配的なることは明瞭であろう。

最後に土の種類とクリープ速度について述べる。図-6 の関係を粘土と砂で比較したとき、砂は粘土に比べてクリープ量が少ないのを、同じ応力比に対する  $dE_d/d\log t$  の値も小さくなるはずである。図-7 は今回の粘性土に関する結果、さらに <sup>5)</sup> Šuklje や <sup>6)</sup> ハ木 <sup>5)</sup> 砂質シルト、砂の結果を同じ図上にプロットし、それらの相互位置を示したものである。

図中、左上に描いた 3 本の直線は、岡口 <sup>7)</sup> の提案している流動包絡線 (flow envelope) である。粘土のクリープ速度 ( $dE_d/d\log t$ ) はこの線をこえて大きくならないといふ限界を与えるものである。粘土に対するこのような限界線と同様、図中右端部にプロットされた砂に対する値がもう一つの限界線を示し、通常の土はこれら 2 本の限界線の中間に収まるものと推定される。実際の地盤は粘土だけで構成されることは稀で、各種の土が混在している。したがって地盤上の構造物の沈下を考えるときには、土の種類による特性の違いを把握しておくことも意味があり、いろいろな土について図-7 のブランクを埋めたいところである。

## 6. むすび

軟弱地盤の側方流動も含めて沈下の経時変化を解析的に扱うためには、粘土の変形と体積変化に関する経時特性を知る必要がある。変形と体積変化は、ダイレイタンシー現象一つをとっても本質的には分離されざるべきものでないから; が、ここでは便宜上  $E_d$  と  $E_v$  に分けてそれぞれの性質を調べた。そして  $E_v$  については、いわゆる 100% 压密量と 2 次圧密量を、また  $E_d$  については即時変形量と 2 次圧密量を  $\sigma_m'$  や  $T_{oct}$  との関連において整理し、実際の沈下計算に使える形で表現したとした。自ずら成り立つが、ここに提供的な資料が何らかの参考になれば幸いである。

- 参考文献:— 1) D. J. D'Appolonia, H. G. Poulos and C. C. Ladd; Initial settlement of structures on clay, Proc. ASCE, Vol. 99 SM 10, 1971, p. 1359. 2) S. D. Wilson and R. J. Dietrich; Effect of consolidation pressure on elastic and strength properties of clay, ASCE Colorado Conf. 1960, p. 419.
- 3) L. K. Walker; Secondary compression in the shear of clays, Proc. ASCE, Vol. 95 SM 1, 1969, p. 167.
- 4) 柴田徹; 粘土の圧密に関するレオロジー的考察, 土木学会論文集, 69号, 1960, p. 29. 5) L. Šuklje; Rheological aspects of soil mechanics, 1969, p. 359. 6) ハ木則男; 砂の変形について, 土木学会関西支部講演集, 1963, p. 85. 7) 岡口秀雄; Flow characteristics of clays, 土質工学会論文報告集・投稿中。

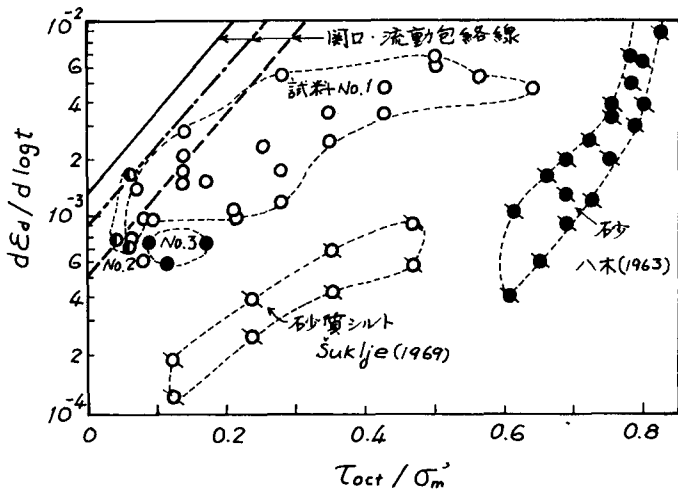


図-7 偏差比のクリープ速度一応力比関係